

# ЖУРНАЛ СТРУКТУРНОЙ ХИМИИ

2008. Том 49, № 5

Сентябрь – октябрь

С. 982 – 984

## КРАТКИЕ СООБЩЕНИЯ

УДК 544.354-128: 539.266

### РЕНТГЕНОДИФРАКЦИОННЫЙ ЭКСПЕРИМЕНТ НА РАСТВОРАХ $DyBr_3:20H_2O$ , $YbBr_3:20H_2O$ . ПРЕДГЛАВНЫЙ ПИК КАК ПРЕДПОСЫЛКА К СУЖДЕНИЮ О СТРУКТУРНОЙ ОРГАНИЗАЦИИ РАСТВОРОВ

© 2008 О. В. Гречин\*, В. В. Кузнецов, М. В. Якимова

Ивановский государственный химико-технологический университет

Статья поступила 13 декабря 2006 г.

С доработки — 7 июня 2007 г.

Представлены первичные данные рентгенодифракционного эксперимента на водных растворах  $DyBr_3$  и  $YbBr_3$  мольных соотношений соль:вода — 1:20. Наличие предглавного пика на нормированных кривых интенсивностей рассеяния определяет среднее межкационное расстояние в данных растворах и как следствие дает направление к модельному описанию структуры растворов. Исходя из определения границ катионного комплекса и учитывая дефицит растворителя, предполагается, что модель катионного комплекса должна состоять из двух координационных оболочек с включением в них как минимум двух анионов.

**Ключевые слова:** водные растворы, лантанидные катионы, рентгенодифракционный метод, предглавный пик (ПГП), диффузионно-усредненная структура (D-структур), координационное окружение катиона, моделирование растворов.

Сопоставление информации, полученной рентгенодифракционными методами при исследовании гидратации трехзарядных лантанидных катионов, показывает, что конечные результаты этих работ имеют много противоречий между собой, а зачастую и спорны. Это касается как определения координационных чисел катионов, так и предлагаемых гипотетических структурных моделей [ 1—3 ]. Причины подобных противоречий можно объяснить, с одной стороны, различными подходами в обработке первичных экспериментальных данных и способами выделения интерференционной составляющей из общей кривой рассеяния, а с другой стороны, ошибками при планировании эксперимента. К сожалению, авторы слишком мало уделяют внимания полноте представления и обсуждения первичных данных, и именно поэтому сложно выявить причину разобщенности конечных результатов. Тем не менее, в определенных случаях анализ первичных дифракционных данных вносит весомый вклад в стратегию структурного моделирования растворов.

Рентгенодифракционный эксперимент для водных растворов  $DyBr_3$  и  $YbBr_3$  проводился на основе рентгеновского дифрактометра ДРОН-2.0, доработанного для съемки по схеме Дебая—Шеррера  $\theta\text{-}2\theta$  (на "просвет" через плоскопараллельную кювету) [ 4 ], с использованием  $MoK_{\alpha}$ -излучения при 293,15 К. Растворы бромидов диспрозия(III) и иттербия(III) готовились на основе подкисленного (0,1 М HBr) водного раствора (с целью подавления гидролиза по катиону) весовым способом и характеризуются мольным соотношением соль:вода = 1:20.

На рисунке представлены зависимости нормированных интенсивностей рассеяния рентгеновского излучения от значений волнового вектора  $s$  ( $s = (4\pi/\lambda)\sin\theta$ ). Нормировка экспериментальных интенсивностей рассеяния (предварительно исправленных на поглощение, поляризацию и фон) произведена по методике [ 5 ].

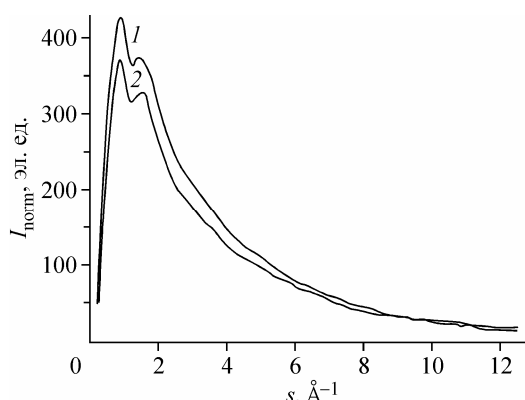
\* E-mail: liceum@isuct.ru

Отличительной деталью нормированных кривых интенсивностей (КИ) для исследованных растворов лантанидов является наличие на них двух максимумов при  $s \approx 0,89 \text{ \AA}^{-1}$  и при  $s \approx 1,54 \text{ \AA}^{-1}$ . Результаты рентгенодифракционных исследований водно-электролитных растворов показывают, что положение основного (или главного) максимума на кривых интенсивности лежит в пределах  $1,5—2,5 \text{ \AA}^{-1}$ . По этой причине максимум при  $s \approx 1,54 \text{ \AA}^{-1}$  определен как основной пик. Предшествующий ему (со стороны малых углов) максимум, наблюдаемый при  $s \approx 0,89 \text{ \AA}^{-1}$ , заслуживает особого внимания при анализе первичных дифракционных данных. Этот пик нами называется предглавным (ПГП), а не малоугловым, с тем, чтобы внести различие в это понятие по сравнению с малоугловым рентгенодифракционным экспериментом. Следует отметить, что феномен ПГП не редкость в практике рентгенодифракционных исследований жидкофазных систем и конкретно для растворов лантанидов он упоминался ранее в монографии А.К. Дороша [6]. Нами же явное проявление ПГП констатировалось при исследовании растворов  $\text{LnCl}_3 \cdot 20\text{H}_2\text{O}$ , причем его "зарождение" на кривых интенсивности рассеяния наблюдалось уже для растворов с мольным соотношением 1:40 [7]. Однако, по нашему мнению однозначная трактовка наличия ПГП возможна только для высококонцентрированных растворов, примером которых являются представленные системы.

ПГП, проявляющийся на растворах с концентрациями, близкими к предкристаллизационным, безусловно, определяется расстояниями между катионами, которые, в свою очередь, дают наибольший вклад в дифракционную картину (исходя из наличия большего числа электронов в составе иона) и выступают как центры собственных координационных комплексов. Оценочный расчет величины межкатионных дистанций на основании формулы  $\bar{R} \approx 7,73/s_i$  [6] дает значение  $8,7 \pm 0,3 \text{ \AA}$ . Эта величина соответствует взаимодействиям между координационными катионными комплексами, границы которых можно определить условным уровнем второго координационного слоя ( $\sim 4,35 \text{ \AA}$ ). И поэтому при попытке создания модели растворов (а именно фрагмента D-структуры) требуется учитывать, что координационное окружение катиона должно определяться двумя координационными оболочками. Исходя из значений координационных чисел (КЧ) водных ионов: КЧ ( $\text{Ln}^{3+}$ ) = 8, и КЧ ( $\text{Br}^-$ ) = 6 ( $8 + 3 \times 6 = 24\text{H}_2\text{O}$ ), немаловажно отметить, что это растворы, в которых имеется дефицит растворителя для образования вокруг ионов полных гидратных оболочек. По этой причине в составе двухслойевого катионного окружения должны включаться как минимум два противоиона. При подобном сближении между ионами не имеет смысла ожидать геометрически совершенных форм координационных многогранников в ближайшем окружении катиона (в первом координационном слое), подобных тем, которые предположительно реализуются для разбавленных растворов (квадратная антипризма и додекаэдр) [8]. Напротив, следует предполагать значительные искажения таких полиэдров, вызываемые, с одной стороны, электростатическим взаимодействием между ионами, а с другой, существенной разницей в радиусах частиц. И поэтому при моделировании структуры данных растворов за отправную точку можно взять структурные фрагменты катионного окружения, известные для кристаллогидратов галогенидных солей лантанидов (искаженный додекаэдр) [9, 10]. Разумеется, нужно иметь в виду, что различие в структурах (в сравнении с кристаллогидратами) следует ожидать в статистически более равномерном распределении анионов по объему раствора, при этом расположение анионов возможно как в первом, так и во втором координационном слоях катиона.

Непосредственное моделирование D-структуры растворов уже на основе экспериментальных функций радиального распределения, ожидаемым результатом которого, в конечном счете, предполага-

Нормированные кривые интенсивности рассеяния на растворах: 1 —  $\text{YbBr}_3 \cdot 20\text{H}_2\text{O}$ , 2 —  $\text{DyBr}_3 \cdot 20\text{H}_2\text{O}$



ется создание объемного фрагмента координационного окружения катиона (либо некоторого набора различающихся между собой фрагментов), весьма сложная и длительная работа, в силу отсутствия строгих математических методов подбора и оптимизации структурных моделей применительно к концентрированным растворам. Тем не менее, в силу изложенных выше доводов поставленная задача становится отчасти более определенной. Результаты этой работы по представленным системам планируется опубликовать в дальнейшем.

#### СПИСОК ЛИТЕРАТУРЫ

1. *Brady G.W.* // *J. Chem. Phys.* – 1960. – **33**, № 4. – P. 1079 – 1082.
2. a) *Habenschuss A., Spedding F.H.* // *Ibid.* – 1979. – **70**. – P. 2797; б) // *Ibid.* – 1979. – **70**, N 8. – P. 3758 – 3763; в) // *Ibid.* – 1980. – **73**, N 1. – P. 442 – 450.
3. а) *Рысс А.И., Лесовицкая М.К., Шаповалов И.М.* / ВИНТИ Г. Днепропетровск, № 856-76; б) *Шаповалов И.М., Рысс А.И.* / ВИНТИ Г. Днепропетровск, № 2592-76.
4. *Кузнецов В.В., Тростин В.Н.* // *Изв. вузов. Химия и хим. технология.* – 1987. – **30**, № 4. – С. 60 – 63.
5. *Johansson G., Sandstrom M.* // *Chem. Sci.* – 1973. – **4**, N 5. – P. 195.
6. *Дороши А.К.* Структура конденсированных систем. – Львов: Вища школа, 1981.
7. *Гречин О.В.* Особенности гидратации лантанидных ионов  $Dy^{3+}$ ,  $Er^{3+}$ ,  $Yb^{3+}$  в водно-хлоридных растворах по результатам рентгенодифракционного эксперимента: Автореф. дисс. ... канд. хим. наук. – Иваново, 2004. – 17 с.
8. *Kowall Th., Foglia F., Helm L., Merbach A.E.* // *J. Phys. Chem.* – 1995. – **99**, T 35. – P. 13078 – 13087.
9. *Rogers R.D.* // *LAREEK.* – 1987. – **2**. – P. 41 – 48.
10. *Rogers R.D., Kurihara L.K.* // *Ibid.* – 1986. – **1**. – P. 296 – 306.